

ОБОБЩЕННЫЕ ПРЕОБРАЗОВАНИЯ ЙОРДАНА–ВИГНЕРА И ПРОБЛЕМА ИЗИНГА–ОНЗАГЕРА

М. С. Кохманьский

*Institute of Physics, Pedagogical University
35-310, Rzeszów, Poland*

Поступила в редакцию 6 марта 1996 г.,
после переработки 26 июля 1996 г.

Приводится еще один из возможных способов получения решения Онзагера для $2D$ -модели Изинга. Предлагаемый метод в отличие от ранее известных позволяет рассмотреть задачу в слабом внешнем магнитном поле. Используются обобщенные преобразования типа Йордана–Вигнера в форме, введенной в работе автора [1].

1. ВВЕДЕНИЕ

Хорошо известны различные методы решения двумерной модели Изинга в отсутствие внешнего магнитного поля (см., например, [2–6] и списки литературы в этих работах). К сожалению, практически ни один из этих подходов не привел к успеху в решении проблемы Изинга–Онзагера во внешнем магнитном поле или к решению трехмерной модели Изинга. Точнее говоря, все эти методы не давали возможности продвинуться далее в решении проблемы Изинга–Онзагера, несмотря на большие усилия со стороны физиков и математиков.

Следует особо отметить работу Шульца, Маттиса и Либа [7], которая, по мнению автора, является одной из красивейших и изящных работ в этой области теоретической физики (еще один пример глубокой связи теоретической физики с искусством), посвященных проблеме Изинга–Онзагера. Метод, использованный в работе [7], основан на применении трансфер-матрицы и последующем переходе к фермиевскому представлению посредством одномерных преобразований Йордана–Вигнера [8]. С другой стороны, имеется ряд работ [9–11], где в той или иной форме применяются комбинаторные методы вычисления статистической суммы для $2D$ -модели Изинга с использованием графического представления для исходной суммы. Автор прекрасно осознает и «помнит», что к настоящему времени уже накоплено великое множество подходов и методик для решения трехмерной задачи, которые, тем не менее, ни к чему не привели. Однако, как хорошо известно, большинство из этих подходов и методик (см., например, [12]) носит ограниченный характер, что даже не позволяет рассмотреть задачу в слабом внешнем магнитном поле для случая двух измерений, не говоря уже о трехмерной задаче.

В данной работе развивается еще один из возможных подходов к проблеме Изинга–Онзагера, и в качестве примера приводится решение для $2D$ -модели Изинга, использующее при этом идеи как работы [7], так и работ [9–11]. Идея заключается в том, чтобы сформулировать задачу в трех измерениях в представлении вторичного квантования, а потом перейти по одной из постоянных взаимодействия $J_{1,2,3}$ к нулю. При этом мы дополнительно используем обобщенные преобразования типа Йордана–Вигнера в форме,

введенной в [1]. Мы надеемся, что предлагаемый подход позволит существенно продвинуться в решении проблемы Изинга–Онзагера во внешнем магнитном поле, о чем несколько подробнее будет сказано в заключении.

2. СТАТИСТИЧЕСКАЯ СУММА

2.1. Аналитическое представление

Рассмотрим простую кубическую решетку, составленную из N строк, M столбцов и K плоскостей (слоев), в узлах которой заданы «спины» σ_{nmk} , принимающие два значения: $\sigma_{nmk} = \pm 1$. Гамильтониан для 3D-модели Изинга с взаимодействием ближайших соседей задается в виде

$$\mathcal{H} = - \sum_{n,m,k=1}^{NMK} (J_1 \sigma_{nmk} \sigma_{n+1,mk} + J_2 \sigma_{nmk} \sigma_{n,m+1,k} + J_3 \sigma_{nmk} \sigma_{nm,k+1}), \quad (2.1)$$

где совокупный индекс nmk нумерует узлы простой кубической решетки $N \times M \times K$, а постоянные $J_j > 0$ учитывают анизотропию взаимодействия изинговских спинов. На переменные σ_{nmk} накладываются, как обычно, периодические граничные условия. Статистическую сумму системы Z_3 запишем в виде

$$Z_3 = \sum_{\sigma_{111}=\pm 1} \dots \sum_{\sigma_{NMK}=\pm 1} e^{-\beta \mathcal{H}} = \sum_{\{\sigma_{nmk}=\pm 1\}} \exp \left[\sum_{nmk} (K_1 \sigma_{nmk} \sigma_{n+1,mk} + K_2 \sigma_{nmk} \sigma_{n,m+1,k} + K_3 \sigma_{nmk} \sigma_{nm,k+1}) \right], \quad (2.2)$$

где величины K_j определяются как (T — температура)

$$K_{1,2,3} = \beta J_{1,2,3}, \quad \beta = 1/k_B T. \quad (2.3)$$

(Здесь и везде ниже суммирование по nmk (или nm), а также произведение по nm будет означать суммирование или произведение по полному набору целых чисел от 1 до N , M и K по каждому из индексов соответственно.)

Используя хорошо известный метод трансфер-матрицы [4, 5], для статистической суммы Z_3 (2.2) можно записать выражение

$$Z_3 = \text{Tr}(T)^K, \quad (2.4)$$

где T — трансфер-матрица, матричные элементы которой определяются равенствами

$$T_{\{\sigma_{nm,k+1}\}}^{\{\sigma_{nmk}\}} = \exp \left[\sum_{nm} (K_1 \sigma_{n+1,mk} + K_2 \sigma_{n,m+1,k}) \sigma_{nmk} \right] \exp \left[K_3 \sum_{nm} \sigma_{nmk} \sigma_{nm,k+1} \right]. \quad (2.5)$$

Матричные элементы трансфер-матрицы слой–слой модели Изинга можно записать и в несколько иной форме [4], но все эти представления фактически эквивалентны. Согласно выражению (2.5), матрицу T можно представить в виде произведения матриц $T_{1,2,3}$ той же размерности ($2^{NM} \times 2^{NM}$):

$$T = T_3 T_2 T_1, \quad (2.6)$$

матрицы T_1 , T_2 и T_3 определяются выражениями [4]

$$T_1 = \exp \left(K_1 \sum_{nm} \tau_{nm}^z \tau_{n+1,m}^z \right), \quad T_2 = \exp \left(K_2 \sum_{nm} \tau_{nm}^z \tau_{n,m+1}^z \right), \quad (2.7)$$

$$T_3 = (2 \operatorname{sh} 2K_3)^{NM/2} \exp \left(K_3^* \sum_{nm} \tau_{nm}^x \right), \quad (2.8)$$

где $\tau_{nm}^{x,y,z}$ — три набора 2^{NM} -мерных матриц вида

$$\tau_{nm}^{x,y,z} = 1 \otimes 1 \otimes \dots \otimes \tau^{x,y,z} \otimes \dots \otimes 1 \otimes 1, \quad (2.9)$$

здесь матрицы Паули $\tau^{x,y,z}$ стоят в этих произведениях на nm -ом месте. В формуле (2.8) величины K_3 и K_3^* связаны между собой соотношениями вида

$$\operatorname{th}(K_3) = \exp(-2K_3^*) \text{ или } \operatorname{sh}(2K_3) \operatorname{sh}(2K_3^*) = 1. \quad (2.10)$$

Спиновые матрицы Паули $\tau_{nm}^{x,y,z}$ (2.9) коммутируют между собой при разных $nm \neq n'm'$, в то время как для данного значения nm эти матрицы удовлетворяют стандартным свойствам [4]. Легко видеть, что матрицы $T_{1,2}$ (2.7) коммутируют между собой, но не коммутируют с матрицей T_3 (2.8). Переходу к $2D$ -модели Изинга по постоянным взаимодействия K_1 или K_2 соответствует положение $K_1 = 0$ или $K_2 = 0$ и снятие суммирования по n ($N = 1$) или по m ($M = 1$) соответственно. При этом мы получаем стандартные выражения [5, 7] для $2D$ -модели Изинга, причем оператор T_1 (2.7) тождественно равен единичному $T_1 \equiv 1$ в первом случае и $T_2 \equiv 1$ во втором случае.

Несколько иная ситуация получается при переходе к $2D$ -модели Изинга по постоянной взаимодействия K_3 . В этом случае мы должны положить $K_3 = 0$, $K = 1$, т. е. снять суммирование по k , в результате чего для оператора T_3 (2.8) нетрудно получить выражение

$$T_3^* \equiv T_3(K_3 = 0) = \prod_{nm} (1 + \tau_{nm}^x), \quad (2.11)$$

где мы использовали соотношения (2.10). Именно такая структура оператора T_3^* позволяет в конечном счете наметить несколько иной путь решения задачи Изинга, а также существенно продвинуться в решении проблемы Изинга–Онзагера во внешнем магнитном поле H . Таким образом, в этом случае для статистической суммы $2D$ -модели Изинга, согласно (2.4), можем записать выражение

$$Z_2 = \operatorname{Tr}(T_3^* T_2 T_1), \quad (2.12)$$

где матрицы $T_{1,2}$ определяются формулами (2.7), а матрица T_3^* — формулой (2.11). Преимущество представления статистической суммы в виде (2.12), как представляется автору, является в каком-то смысле очевидным, о чем дополнительно будет сказано ниже.

Шульц, Маттис и Либ [7] показали, что T -матрицу в ее стандартном представлении можно выразить через ферми-операторы вторичного квантования. При этом они

использовали известные преобразования Йордана–Вигнера [8], позволяющие выразить для одномерной системы фермиевские операторы c_m^+, c_m через операторы Паули τ_m^\pm [5]:

$$c_m = \exp \left(i\pi \sum_{j=1}^{m-1} \tau_j^+ \tau_j^- \right) \tau_m^-, \quad c_m^+ = \exp \left(i\pi \sum_{j=1}^{m-1} \tau_j^+ \tau_j^- \right) \tau_m^+. \quad (2.13)$$

В работе [1] введены преобразования типа Йордана–Вигнера (2.13), обобщенные на дву-, три- и d -мерные системы, в форме удобной для применения к решеточным системам. Вводя, как и в одномерном случае [5], двухиндексные операторы Паули

$$\tau_{nm}^\pm = \frac{1}{2}(\tau_{nm}^z \pm i\tau_{nm}^y), \quad (2.14)$$

которые удовлетворяют перестановочным соотношениям антикоммутиации для одного узла и коммутации для разных узлов, матрицы $T_{1,2}$ и T_3^* запишем в виде

$$T_1 = \exp \left[K_1 \sum_{nm} (\tau_{nm}^+ + \tau_{nm}^-)(\tau_{n+1,m}^+ + \tau_{n+1,m}^-) \right], \quad (2.15)$$

$$T_2 = \exp \left[K_2 \sum_{nm} (\tau_{nm}^+ + \tau_{nm}^-)(\tau_{n,m+1}^+ + \tau_{n,m+1}^-) \right], \quad (2.16)$$

$$T_3^* = \prod_{nm} [1 + (1 - 2\tau_{nm}^+ \tau_{nm}^-)]. \quad (2.17)$$

Как уже отмечалось выше, операторы Паули τ_{nm}^\pm ведут себя как фермиевские операторы для одного узла и как бозе-операторы для разных узлов. Далее, используя двумерные преобразования типа Йордана–Вигнера [1]

$$\alpha_{nm}^+ = \exp \left(i\pi \sum_{k=1}^{n-1} \sum_{l=1}^M \tau_{kl}^+ \tau_{kl}^- + i\pi \sum_{l=1}^{m-1} \tau_{nl}^+ \tau_{nl}^- \right) \tau_{nm}^+, \quad (2.18)$$

$$\alpha_{nm} = \exp \left(i\pi \sum_{k=1}^{n-1} \sum_{l=1}^M \tau_{kl}^+ \tau_{kl}^- + i\pi \sum_{l=1}^{m-1} \tau_{nl}^+ \tau_{nl}^- \right) \tau_{nm}^-,$$

$$\beta_{nm}^+ = \exp \left(i\pi \sum_{k=1}^N \sum_{l=1}^{m-1} \tau_{kl}^+ \tau_{kl}^- + i\pi \sum_{k=1}^{n-1} \tau_{km}^+ \tau_{km}^- \right) \tau_{nm}^+, \quad (2.19)$$

$$\beta_{nm} = \exp \left(i\pi \sum_{k=1}^N \sum_{l=1}^{m-1} \tau_{kl}^+ \tau_{kl}^- + i\pi \sum_{k=1}^{n-1} \tau_{km}^+ \tau_{km}^- \right) \tau_{nm}^-,$$

после ряда преобразований [13] представим операторы (2.14)–(2.16) в виде

$$T_1 = \exp \left\{ K_1 \sum_{m=1}^M \times \right. \\ \left. \times \left[\sum_{n=1}^{N-1} (\beta_{nm}^+ - \beta_{nm}) (\beta_{n+1,m}^+ + \beta_{n+1,m}) - \hat{g}_m (\beta_{Nm}^+ - \beta_{Nm}) (\beta_{1,m}^+ + \beta_{1,m}) \right] \right\}, \quad (2.20)$$

$$T_2 = \exp \left\{ K_2 \sum_{n=1}^N \times \right. \\ \left. \times \left[\sum_{m=1}^{M-1} (\alpha_{nm}^+ - \alpha_{nm}) (\alpha_{n,m+1}^+ + \alpha_{n,m+1}) - \hat{g}_n (\alpha_{nM}^+ - \alpha_{nM}) (\alpha_{n,1}^+ + \alpha_{n,1}) \right] \right\}, \quad (2.21)$$

$$T_3^* = \prod_{nm} \left[1 + (-1)^{\alpha_{nm}^+ \alpha_{nm}} \right] = \prod_{nm} \left[1 + (-1)^{\beta_{nm}^+ \beta_{nm}} \right], \quad (2.22)$$

где

$$\hat{g}_n \equiv (-1)^{\hat{M}_n}, \quad \hat{M}_n = \sum_{m=1}^M \alpha_{nm}^+ \alpha_{nm}, \quad \hat{g}_m \equiv (-1)^{\hat{N}_m}, \quad \hat{N}_m = \sum_{n=1}^N \beta_{nm}^+ \beta_{nm}.$$

Перестановочные соотношения между α - и β -операторами имеют вид [1]

$$\{\alpha_{nm}^+, \beta_{nm}\}_+ = \{\beta_{nm}^+, \alpha_{nm}\}_+ = (-1)^{\varphi_{nm}}, \\ [\alpha_{nm}, \beta_{n'm'}]_- = \dots = [\alpha_{nm}^+, \beta_{n'm'}^+]_- = 0, \quad \left(\begin{array}{l} n' \leq n-1, \quad m' \geq m+1 \\ n' \geq n+1, \quad m' \leq m-1 \end{array} \right), \\ \{\alpha_{nm}, \beta_{n'm'}\}_+ = \dots = \{\alpha_{nm}^+, \beta_{n'm'}^+\}_+ = 0, \quad (2.23)$$

во всех остальных случаях, когда операторы определяются как

$$\alpha_{nm}^+ = \exp(i\pi\varphi_{nm})\beta_{nm}^+, \quad \alpha_{nm} = \exp(i\pi\varphi_{nm})\beta_{nm}, \\ \varphi_{nm} = \left[\sum_{k=n+1}^N \sum_{p=1}^{m-1} + \sum_{k=1}^{n-1} \sum_{p=m+1}^M \right] \alpha_{kp}^+ \alpha_{kp} = [\dots] \beta_{kp}^+ \beta_{kp}, \quad (2.24)$$

причем $\alpha_{nm}^+ \alpha_{nm} = \beta_{nm}^+ \beta_{nm}$, операторы φ_{nm} , очевидно, коммутируют с операторами $\alpha_{nm}^+, \alpha_{nm}$ и β_{nm}^+, β_{nm} , т. е.

$$[\varphi_{nm}, \alpha_{nm}^+]_- = \dots = \dots = [\varphi_{nm}, \beta_{nm}]_- = 0.$$

Вводя, как и в одномерном случае [7], базис в представлении чисел заполнения для α - и β -фермионов (2^{NM} -мерное пространство в представлении Фока [14]), а затем вычисляя соответствующие матричные элементы $\langle l|T|l \rangle$, легко видеть, что благодаря мультипликативному характеру оператора T_3^* (2.22) все матричные элементы, за исключением вакуумного матричного элемента $\langle 0|T|0 \rangle$, равны нулю. Для вакуумного матричного элемента вклад от оператора T_3^* равен просто 2^{NM} , и мы для Z_2 (2.12) можем записать следующее выражение в представлении вторичного квантования:

$$Z_2 = 2^{NM} \langle 0|(T_2 T_1)|0 \rangle, \quad (2.25)$$

где вакуумное состояние $|0 \rangle$ определяется стандартным образом:

$$\alpha_{nm}|0\rangle = \beta_{nm}|0\rangle = 0, \quad n = 1, 2, \dots, N, \quad m = 1, 2, \dots, M, \quad (2.26)$$

а операторы $T_{1,2}$ определяются формулами (2.20)–(2.21). Отметим здесь особо, что вакуумные состояния (2.26) для α - и β -фермионов могут отличаться друг от друга самое большее на постоянный фазовый множитель, который в данном случае всегда можно выбрать равным единице. Наконец, легко показать, что в случае граничных условий для α - и β -операторов типа «свободных концов» ($\alpha_{n,M+1}^+ = 0$ и т. д.) выражение (2.25) для статистической суммы Z_2 можно представить окончательно в виде

$$Z_2 = 2^{NM} [(1 - z_1^2)(1 - z_2^2)]^{-NM/2} \langle 0|T_2^* T_1^*|0\rangle, \quad (2.27)$$

$$z_1 = \text{th}(K_1), \quad z_2 = \text{th}(K_2),$$

где операторы $T_{1,2}^*$ имеют следующий вид:

$$T_1^* = \exp \left\{ \sum_{n=1}^N \sum_{m=1}^M \sum_{l=1}^{N-n} z_1^l \beta_{nm}^+ \beta_{n+l,m}^+ \right\}, \quad (2.28)$$

$$T_2^* = \exp \left\{ \sum_{n=1}^N \sum_{m=1}^M \sum_{k=1}^{M-m} z_2^k \alpha_{n,m+k} \alpha_{nm} \right\}. \quad (2.29)$$

При получении выражения (2.27) мы «пропустили» все операторы рождения α_{nm}^+ через бра-вектор $\langle 0|$ и все операторы уничтожения β_{nm} через кет-вектор $|0\rangle$, используя равенства $\langle 0|\alpha_{nm}^+ = 0, \quad \beta_{nm}|0\rangle = 0$, для всех n, m .

2.2. Графическое представление

Обозначим вакуумный матричный элемент в формуле (2.27) для Z_2 через S , а произведение операторов $T_2^* T_1^*$ через G , т. е.

$$S \equiv \langle 0|T_2^* T_1^*|0\rangle \equiv \langle 0|G|0\rangle. \quad (2.30)$$

Таким образом, нам необходимо вычислить вакуумный матричный элемент S (2.30) от суммы произведений фермиевских операторов рождения и уничтожения. Оператор G , входящий в (2.30), является полиномом по переменным z_1, z_2, α_{nm} и β_{nm}^+ . Поскольку G входит в (2.30) в обкладках $\langle 0|G|0\rangle$, то не все члены полинома дадут отличный от нуля вклад в матричный элемент S . Расписывая произведение G и подставляя в (2.30), величину S можно представить в виде суммы вакуумных матричных элементов $\sum_{\nu} S_{\nu}$, где S_{ν} — вакуумный матричный элемент от ν -го члена полинома G . Как следует из (2.28), (2.29), каждый член полинома G представляет собой произведение различных пар $z_2^k \alpha_{n,m+k} \alpha_{nm}$ и $z_1^l \beta_{nm}^+ \beta_{n+l,m}^+$, которые мы ниже будем условно называть α -парами и β -парами. Очевидно, что все члены полинома G с неравным числом α - и β -пар дают нулевой вклад и не все члены полинома G с равным числом α - и β -пар будут давать ненулевой вклад в S . Действительно, ненулевой вклад в S будут давать только те члены полинома G с равным числом α - и β -пар, в которых каждый оператор уничтожения α_{nm} спаривается с соответствующим оператором рождения $\beta_{n',m'}^+$ при одинаковых индексах ($n = n', m = m'$). В противном случае такой член будет давать нулевой вклад в S .

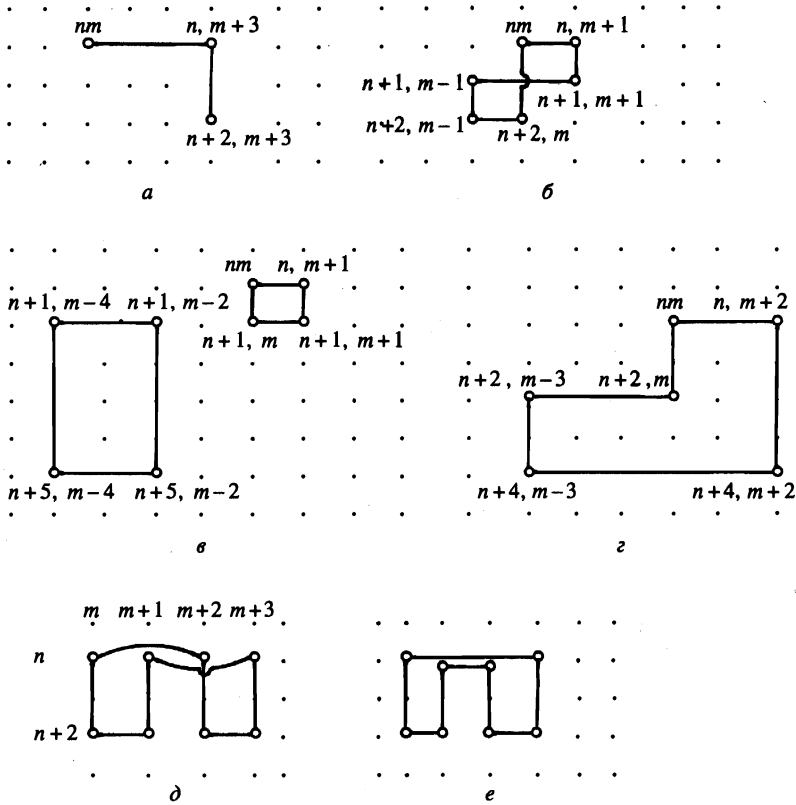


Рис. 1. Гамильтоновские циклы на простой квадратной решетке $N \times M$ с переменной длиной шага: *a* — пример гамильтоновской цепи; *b* — пример простой петли с пересечением горизонтальной и вертикальной связей (ребер); *c*, *z* — примеры простых петель без самопересечений связей; *d*, *e* — простые петли с пересечением двух наложенных горизонтальных или двух наложенных вертикальных связей

Таким образом, мы приходим к диаграммному представлению, замечая, что каждому вакуумному матричному элементу S_ν , можно однозначно поставить в соответствие совокупность линий (связей), соединяющих некоторые пары узлов решетки. Так, например, графикам на рис. 1*a-g* соответствуют следующие матричные элементы:

$$\begin{aligned}
 a) & z_1^2 z_2^3 \langle 0 | \alpha_{n,m+3} \alpha_{nm} \beta_{n,m+3}^+ \beta_{n+2,m+3}^+ | 0 \rangle, \\
 б) & z_1^4 z_2^4 \langle 0 | \alpha_{n,m+1} \alpha_{nm} \alpha_{n+1,m+1} \alpha_{n+1,m-1} \alpha_{n+2,m} \alpha_{n+2,m-1} \times \\
 & \times \beta_{n+1,m-1}^+ \beta_{n+2,m-1}^+ \beta_{nm}^+ \beta_{n+2,m}^+ \beta_{n,m+1}^+ \beta_{n+1,m+1}^+ | 0 \rangle, \\
 в) & z_1^{10} z_2^6 \langle 0 | \alpha_{n,m+1} \alpha_{nm} \alpha_{n+1,m+1} \alpha_{n+1,m} \alpha_{n+1,m-2} \alpha_{n+1,m-4} \alpha_{n+5,m-2} \alpha_{n+5,m-4} \times \\
 & \times \beta_{n+1,m-4}^+ \beta_{n+5,m-4}^+ \beta_{n+1,m-2}^+ \beta_{n+5,m-2}^+ \beta_{nm}^+ \beta_{n+1,m}^+ \beta_{n,m+1}^+ \beta_{n+1,m+1}^+ | 0 \rangle, \\
 г) & z_1^8 z_2^{10} \langle 0 | \alpha_{n,m+2} \alpha_{nm} \alpha_{n+2,m} \alpha_{n+2,m-3} \alpha_{n+4,m+2} \alpha_{n+4,m-3} \times \\
 & \times \beta_{n+2,m-3}^+ \beta_{n+4,m-3}^+ \beta_{nm}^+ \beta_{n+2,m}^+ \beta_{n,m+2}^+ \beta_{n+4,m+2}^+ | 0 \rangle.
 \end{aligned}
 \tag{2.31}$$

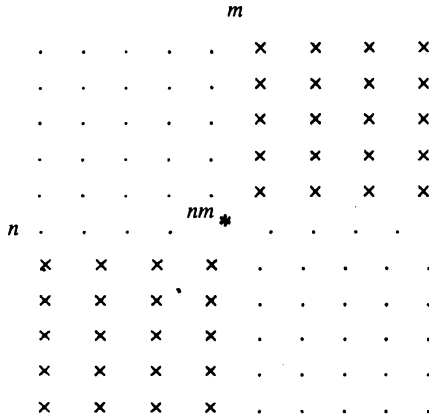


Рис. 2. «Геометрия» перестановочных соотношений для α - и β -операторов: * — α -оператор, \times — β -оператор

Как показывают выражения (2.28), (2.29) и (2.31), каждой горизонтальной линии «длиной» k сопоставляется множитель z_2^k , а каждой вертикальной линии «длиной» l — множитель z_1^l . Выше было показано, что ненулевой вклад в S дают лишь такие матричные элементы S_ν , которые содержат равное число α - и β -пар, причем каждый оператор уничтожения α_{nm} спаривается с соответствующим оператором рождения β_{nm}^+ . Геометрически это означает, что из всей совокупности возможных графиков отличный от нуля вклад в S дают лишь те, у которых в каждой вершине графа встречаются под «прямым углом» нуль или две линии (связи). Иначе говоря, не допускаются графы, в какой-либо вершине которого встречаются две горизонтальные линии (связи) или две вертикальные связи. Простейшие примеры таких графиков изображены на рис. 1а–д. Таким образом, все графики, дающие ненулевой вклад в S , должны быть замкнутыми, причем ни в каком узле не допускаются самопересечения линий (связей), поскольку $\alpha_{nm}^2 = (\beta_{nm}^+)^2 = 0$. С точки зрения теории графов, описанным выше замкнутым графам соответствуют неориентированные циклы Гамильтона (с валентностью вершин $\delta = 0, 2$) на простой прямоугольной решетке [15–17].

Таким образом, вакуумный матричный элемент S (2.30) может быть представлен в виде

$$S = \sum_{\nu} S_{\nu}, \tag{2.32}$$

причем при подсчете всякий многосвязный график считается за один (например, график на рис. 1е). Каждый замкнутый график дает вклад

$$(\pm 1) \prod_{j=1}^s z_1^{l_j} z_2^{k_j}, \tag{2.33}$$

где s — число горизонтальных связей, равное числу вертикальных связей. Далее, используя связь между α - и β -операторами (2.23) и теорему Вика [18], можно показать, что произвольный вакуумный матричный элемент, дающий ненулевой вклад в сумму S (2.31), разбивается на произведение матричных элементов, соответствующих связным частям графика (которые ниже для краткости мы будем называть простыми петлями без

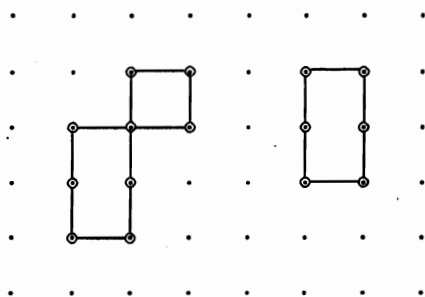


Рис. 3. Простой пример графа (циклы Эйлера), дающий вклад в статистическую сумму $Z(z_1, z_2)$

самопересечений в узлах решетки). Непосредственно можно проверить, учитывая перестановочные соотношения (2.23) между α - и β -операторами, что, например, графики на рис. 1б-е входят со знаком плюс. Другие графики могут входить и со знаком минус, например, график на рис. 1д. Перестановочные соотношения между α - и β -операторами (2.23) очень наглядно иллюстрируются на рис. 2, где выделенный оператор α_{nm} (*) для фиксированного узла (nm) коммутирует с β -операторами в узлах $(n'm')$, помеченных крестом (x). Для всех остальных узлов α - и β -операторы антикоммутируют между собой. Таким образом, вклад от каждого графика разбивается на произведение вкладов от простых петель, причем вклад простой петли с s горизонтальными и s вертикальными связями равен

$$\Pi_s = (\pm 1) \prod_{j=1}^s z_1^{l_j} z_2^{k_j} . \tag{2.34}$$

Для S (2.32) мы теперь можем записать выражение

$$S = 1 + \sum_{\{s\}} \Pi_s + \sum_{\{s\}, \{q\}} \Pi_s \Pi_q + \dots \equiv \Gamma^{(h)}(z_1, z_2) , \tag{2.35}$$

где петля Π_s определяется выражением (2.34). В выражение (2.35) кроме суммирования по числу связей s входит еще суммирование по всем допустимым длинам этих связей $\{k\}$ и $\{l\}$ при фиксированном s . Легко видеть, что суммирование в (2.35) по длинам горизонтальных $\{k\}$ и вертикальных $\{l\}$ связей проводится независимым образом. В теории графов [15, 16] функцию (2.35) принято называть производящей функцией, что мы и отметили выше, вводя для нее обозначение $\Gamma^{(h)}(z_1, z_2)$, где верхний индекс (h) указывает на принадлежность к циклам Гамильтона. Задача, таким образом, сводится к суммированию по всем циклам Гамильтона с шагом (ребром) переменной длины на прямоугольной решетке описанного выше типа.

Отметим здесь, что графическое представление для Z_2 , описанное нами выше, весьма близко напоминает диаграммное представление для статистической суммы $2D$ -модели Изинга в нулевом магнитном поле ($h = 0$) (см., например, [11, 15, 19]). В этом случае, как известно [11, 19], статистическая сумма представляется в виде

$$Z(K_1, K_2) = (2 \operatorname{ch} K_1 \operatorname{ch} K_2)^{NM} \sum_{\alpha, \beta} g_{\alpha, \beta} \operatorname{th}^\alpha K_1 \operatorname{th}^\beta K_2 , \tag{2.36}$$

где $g_{\alpha, \beta}$ — число замкнутых графиков, составленных из β горизонтальных и α вертикальных связей, причем эти связи соединяют ближайшие узлы квадратной решетки,

так что каждой α -связи сопоставляется множитель (вес) $\text{th } K_1$, а β -связи — множитель $\text{th } K_2$. При этом в некоторых вершинах графа возможно однократное самопересечение, т. е. в одной вершине графа встречаются нуль, две или четыре линии, что соответствует неориентированным циклам Эйлера степени $\delta \leq 4$ [15, 17]. На рис. 3 показан один из простейших графиков, дающих вклад в сумму (2.36) для $Z_2(K_1, K_2)$. Существенное отличие от случая, описанного нами выше, заключается именно в этом последнем обстоятельстве, поскольку в нашем случае в одной вершине могут встречаться только нуль или две линии (горизонтальная и вертикальная). Это соответствует, как уже сказано выше, неориентированным циклам Гамильтона на квадратной решетке [15, 17]. Другое отличие заключается в том, что α - и β -связи в (2.35) могут соединять не только ближайшие узлы решетки, что проявляется в зависимости весовых множителей z_1^{lj} и z_2^{kj} от расстояний l и k между узлами решетки в вертикальном и горизонтальном направлениях соответственно. Как уже отмечалось выше, в терминологии теории графов [15] задача вычисления суммы (2.35) — это задача суммирования по гамильтоновским циклам (простым циклам) на прямоугольной решетке с $N \times M$ узлами с переменной «длиной» ребра в горизонтальном и вертикальном направлениях. В то же время задача вычисления суммы (2.36) — это задача суммирования по всем возможным циклам Эйлера описанного выше типа ($\delta \leq 4$) на той же решетке. Как известно [15], имеется тесная связь между графами Эйлера и Гамильтона, причем для некоторого типа графов Эйлера можно перейти к графам Гамильтона, но не наоборот. В работах [20, 21] приведен ряд примеров нетривиальной связи между производящими функциями для циклов Эйлера и Гамильтона на простой прямоугольной решетке. В работе [21] путем сравнения было показано, что производящая функция $\Gamma^{(h)}(z_1, z_2)$ для циклов Гамильтона, описанных выше, в точности равна производящей функции $\Gamma^{(e)}(z_1, z_2)$ для циклов Эйлера ($\delta \leq 4$) $2D$ -модели Изинга [15], и поэтому имеет место равенство

$$\Gamma^{(h)}(z_1, z_2) = \prod_{n,m=0}^{N,M} \left[(1+z_1^2)(1+z_2^2) - 2z_1(1-z_2^2) \cos\left(\frac{2\pi n}{N}\right) - 2z_2(1-z_1^2) \cos\left(\frac{2\pi m}{M}\right) \right]^{1/2}, \quad (2.37)$$

где $z_{1,2} \equiv \text{th } K_{1,2}$. Ниже мы непосредственно вычислим сумму (2.35) и покажем, что имеет место равенство (2.37), а здесь только отметим, что в работе [20] приведен ряд примеров вычисления производящих функций для циклов Гамильтона с весами, отличными от рассмотренных выше.

3. РЕШЕНИЕ

Решение Каца и Уорда [9], превосходное изложение которого можно найти в работе [22], содержит известное топологическое рассуждение. Именно, если при обходе произвольного замкнутого графика (здесь речь идет об эйлеровских графах на решетке) каждому повороту налево приписать вес $\alpha = \exp(i\pi/4)$, а повороту направо — вес $\alpha^{-1} = \exp(-i\pi/4)$, то замкнутые диаграммы (т. е. те, которые мы хотим учесть) будут учтены, а запрещенные диаграммы будут компенсированы, если мы пройдем различными путями по этим диаграммам. Полное доказательство этой теоремы было дано Шерманом [23]. Аналогичное утверждение имеет место и в случае гамильтоновских

графов на решетке с шагом переменной длины, описанных нами выше, что для простых случаев будет показано ниже. Однако мы в своих рассуждениях будем следовать работам [11, 24].

Прежде всего напомним, что некоторые гамильтоновские петли (например, рис. 1*д*) входят со знаком минус в выражение (2.35) для S . Именно, непосредственной проверкой с использованием перестановочных соотношений (2.23), можно убедиться, что каждая «двойная перекрестная связь» типа изображенной на рис. 1*д* вносит знак минус в суммарный знак простой петли (2.34) для всех допустимых диаграмм. То же относится и к вертикальным «двойным перекрестным связям». В то же время каждая «простая двойная связь» типа показанной на рис. 1*е* вносит знак плюс в суммарный знак простой петли (2.34). Все остальные простые петли без «двойных связей» типа представленных на рис. 1*б–г* входят в сумму (2.35) для S со знаком плюс. (Заметим здесь мимоходом, что каждому эйлеровскому графу на решетке можно поставить во взаимно однозначное соответствие гамильтоновский граф с шагом переменной длины без «двойных связей», причем этот гамильтоновский граф может состоять из одной, двух и более простых петель. Для этого необходимо в эйлеровском графе «вычеркнуть» все промежуточные вершины, вместе с вершинами самопересечения горизонтальных и вертикальных ребер эйлеровского графа.)

Теперь легко понять, что если в выражении (2.35) для S все простые петли (2.34) брать со знаком плюс, а каждому повороту налево (направо) при обходе простой петли приписать вес $\alpha = \exp(i\pi/4)$ ($\alpha^{-1} = \exp(-i\pi/4)$), то задача вычисления суммы S (2.35) фактически сводится к задаче о «случайных блужданиях» точки по решетке с шагом переменной длины [11, 22, 24]. Действительно, при таком способе обхода простых петель все петли с «двойными связями» компенсируются (например, петли на рис. 1*д*, *е*), как и должно быть. Таким способом можно пройти все петли с «двойными связями» и убедиться, что их полный вклад будет компенсироваться. Далее, легко убедиться на ряде конкретных примеров, пользуясь рассуждениями аналогичными проведенным в [11, 22, 24], что если мы пройдем различными путями по всем петлям гамильтоновского типа с шагом переменной длины без «двойных связей» (приписывая им соответствующие веса α и α^{-1} при повороте налево и направо соответственно), то все разрешенные диаграммы будут учтены, а запрещенные будут компенсированы. При этом следует особо подчеркнуть, что такая полная компенсация запрещенных диаграмм в любом порядке будет иметь место только в случае факторизованных весов (z_1^l, z_2^k), приписываемых шагам с длиной l и k соответственно. В работе [20] показано, что включение внешнего магнитного поля H приводит к перенормировке весов z_1^l, z_2^k на $a(l)$ и $b(k)$, где $a(l)$ и $b(k)$ — известные функции параметров взаимодействия $K_{1,2}$ и внешнего поля $h = \beta\mu H$, а также целых положительных чисел l и k . Для этого случая указанная выше полная компенсация запрещенных диаграмм не имеет места.

Возвращаясь к нашей задаче и следуя теперь рассуждениям работ [11, 24], для величины S (2.35) можем записать выражение

$$S = \exp \left[- \sum_{r=1}^{\infty} f_r \right], \quad (3.1)$$

где f_r — сумма по всем одиночным простым петлям длиной $r = 2s$, т.е. состоящим из s горизонтальных и s вертикальных связей. При этом каждая горизонтальная связь входит с весом $z_2^k e^{i\varphi/2}$, а каждая вертикальная связь — с весом $z_1^l e^{i\varphi/2}$, где угол $\varphi =$

$= \pm\pi/2$ — изменение направления при переходе к следующей связи. Вводя величину $W_r(n, m, \nu)$ — сумму по всем возможным переходам с числом связей $r = s_1 + s_2$ из некоторого начального узла (n_0, m_0, ν_0) в узел (n, m, ν) , где ν — дополнительный индекс, связанный с четырьмя возможными направлениями (1, 2, 3, 4) на простой квадратной решетке, для f_r запишем выражение

$$f_r = \frac{1}{2r} \sum_{n_0, m_0, \nu_0} W_r(n_0, m_0, \nu_0). \tag{3.2}$$

Для величины $W_r(n, m, \nu)$ легко получить следующие рекуррентные соотношения ($\alpha \equiv \equiv \exp(i\pi/4)$):

$$\begin{aligned} W_{r+1}(n, m, 1) &= 0 + \alpha^{-1} \sum_{l=1}^N z_1^l W_r(n-l, m, 2) + 0 + \alpha \sum_{l=1}^N z_1^l W_r(n+l, m, 4), \\ W_{r+1}(n, m, 2) &= \alpha \sum_{k=1}^M z_2^k W_r(n, m-k, 1) + 0 + \alpha^{-1} \sum_{k=1}^M z_2^k W_r(n, m+k, 3) + 0, \\ W_{r+1}(n, m, 3) &= 0 + \alpha \sum_{l=1}^N z_1^l W_r(n-l, m, 2) + 0 + \alpha^{-1} \sum_{l=1}^N z_1^l W_r(n+l, m, 4), \\ W_{r+1}(n, m, 4) &= \alpha^{-1} \sum_{k=1}^M z_2^k W_r(n, m-k, 1) + 0 + \alpha \sum_{k=1}^M z_2^k W_r(n, m+k, 3) + 0. \end{aligned} \tag{3.3}$$

Смысл рекуррентных соотношений (3.3) вполне очевиден. Так, в узел $(n, m, 1)$ можно попасть из узлов $(n', m, 2)$ и $(n'', m, 4)$, т.е. сверху и снизу (за направление 1 мы выбрали направление «вправо»), где $n' = n-l$, $n'' = n+l$ и l пробегает, строго говоря, значения от 1 до $N-1$. Однако при больших N суммирование по l можно распространить до N , что мы и сделали в выражениях (3.3), поскольку в термодинамическом пределе эти граничные эффекты исчезают. В структуре рекуррентных соотношений (3.3) хорошо проявляется гамильтоновский характер простых петель, что следует сравнить со случаем эйлеровских графов [22, 24]. Записывая теперь рекуррентные соотношения (3.3) в матричном представлении

$$W_{r+1}(n, m, \nu) = \sum_{n', m', \nu'} \Lambda(n, m, \nu | n', m', \nu') W_r(n', m', \nu'), \tag{3.4}$$

легко видеть [24], что имеет место представление

$$\text{Tr} \Lambda^r = \sum_{n_0, m_0, \nu_0} W_r(n_0, m_0, \nu_0), \tag{3.5}$$

а также

$$f_r = \frac{1}{2r} \text{Tr} \Lambda^r = \frac{1}{2r} \sum_i \lambda_i^r. \tag{3.6}$$

Учитывая (3.2) и (3.6), для S (3.1) можем записать теперь следующее выражение:

$$S = \prod \sqrt{1 - \lambda_i}, \quad (3.7)$$

где λ_i — собственные значения матрицы $\Lambda(n, m, \nu)$, $i = 1, 2, \dots, 4NM$. Матрицу $\Lambda(n, m, \nu)$ легко диагонализировать относительно индексов n, m путем перехода к другому представлению с помощью преобразования Фурье:

$$W_r(n, m, \nu) = \sum_{q,p=0}^{N,M} \exp\left(\frac{2\pi i}{N}nq + \frac{2\pi i}{M}mp\right) W_r(q, p, \nu). \quad (3.8)$$

Подставляя (3.8) в (3.3), при фиксированных q, p будем иметь

$$\Lambda(q, p, \nu | q, p, \nu') = \begin{bmatrix} 0 & \alpha^{-1} \sum_{l=1}^N z_1^l \varepsilon^{-lq} & 0 & \alpha \sum_{l=1}^N z_1^l \varepsilon^{lq} \\ \alpha \sum_{k=1}^M z_2^k \omega^{-kp} & 0 & \alpha^{-1} \sum_{k=1}^M z_2^k \omega^{kp} & 0 \\ 0 & \alpha \sum_{l=1}^N z_1^l \varepsilon^{-lq} & 0 & \alpha^{-1} \sum_{l=1}^N z_1^l \varepsilon^{lq} \\ \alpha^{-1} \sum_{k=1}^M z_2^k \omega^{-kp} & 0 & \alpha \sum_{k=1}^M z_2^k \omega^{kp} & 0 \end{bmatrix}, \quad (3.9)$$

где $\alpha \equiv \exp(i\pi/4)$, $\varepsilon \equiv \exp(2\pi i/N)$, $\omega \equiv \exp(2\pi i/M)$.

Очевидно, что при фиксированных q, p нам достаточно вычислить определитель матрицы 4×4 :

$$\prod_{j=1}^4 (1 - \lambda_j) = \text{Det}(\delta_{\nu\nu'} - \Lambda_{\nu\nu'}) \equiv A(q, p), \quad (3.10)$$

и после несложных вычислений для $A(q, p)$ (3.10) получим следующее выражение:

$$A(q, p) = \frac{(1 + z_1^2)(1 + z_2^2) - 2z_1(1 - z_2^2) \cos(2\pi q/N) - 2z_2(1 - z_1^2) \cos(2\pi p/M)}{[1 - 2z_1 \cos(2\pi q/N) + z_1^2] [1 - 2z_2 \cos(2\pi p/M) + z_2^2]}. \quad (3.11)$$

При получении выражения (3.11) мы опустили слагаемые пропорциональные z_1^N и z_2^M , поскольку при асимптотически больших N и M имеем $z_1^N \approx 0$ и $z_2^M \approx 0$ при $z_{1,2} < 1$. Окончательно при асимптотически больших N, M для S (3.7) с учетом (3.11) получим следующее выражение:

$$S = \prod_i \sqrt{1 - \lambda_i} = \prod_{q,p=0}^{N,M} A^{1/2}(q, p) = \prod_{q,p=0}^{N,M} \left[\frac{(1 + z_1^2)(1 + z_2^2) - 2z_1(1 - z_2^2) \cos(2\pi q/N) - 2z_2(1 - z_1^2) \cos(2\pi p/M)}{[1 - 2z_1 \cos(2\pi q/N) + z_1^2] [1 - 2z_2 \cos(2\pi p/M) + z_2^2]} \right]^{1/2}. \quad (3.12)$$

Очевидно, что при асимптотически больших N, M выражение (3.12) переходит в выражение (2.37), поскольку имеют место равенства

$$\prod_{q=0}^N \left(1 - 2z_1 \cos \frac{2\pi q}{N} + z_1^2 \right) = 1, \quad \prod_{p=0}^M \left(1 - 2z_2 \cos \frac{2\pi p}{M} + z_2^2 \right) = 1$$

при $N, M \rightarrow \infty$, $z_{1,2} < 1$. Наконец, учитывая (2.30) и подставляя (3.12) в формулу (2.27), для свободной энергии f на один изинговский спин в термодинамическом пределе получим хорошо известное решение Онзагера:

$$-\beta f = \lim_{N, M \rightarrow \infty} \frac{1}{NM} \ln Z_2 =$$

$$= \ln 2 + \frac{1}{2\pi^2} \int_0^\pi \int_0^\pi d\varphi_1 d\varphi_2 \ln [\operatorname{ch}(2K_1) \operatorname{ch}(2K_2) - \operatorname{sh}(2K_1) \cos \varphi_1 - \operatorname{sh}(2K_2) \cos \varphi_2], \quad (3.13)$$

где $\beta = 1/k_B T$ — обратная температура.

4. ЗАКЛЮЧЕНИЕ

Предложенный в данной работе метод получения решения Онзагера, несмотря на свою сравнительную громоздкость, позволяет аналитически рассмотреть проблему Изинга–Онзагера во внешнем магнитном поле для ряда предельных случаев как в двумерном, так и в трехмерном случаях. Предложенное решение в своей последней части все-таки отличается от классического решения Шермана–Вдовиченко, которое сводится к суммированию по замкнутым графам. Существенное отличие заключается в том, что в нашем случае суммирование ведется по гамильтоновским замкнутым графам, тогда как в случае решения Шермана–Вдовиченко суммирование ведется по эйлеровским замкнутым графам. Именно это обстоятельство (совместно с представлением статистической суммы в виде (2.25)) позволяет эффективно учесть внешнее магнитное поле. В работах автора [13, 20] на основе предложенного подхода показано, как можно максимально упростить оператор, отвечающий взаимодействию изинговских спинов с внешним магнитным полем, в представлении вторичного квантования. Это в свою очередь позволяет эффективно перенормировать постоянные взаимодействия $K_{1,2}$ с учетом внешнего магнитного поля H . Такая перенормировка возможна именно благодаря представлению статистической суммы в виде (2.25). Поэтому, по мнению автора, представленный в работе формализм и решение $2D$ -задачи Изинга имеют не только самостоятельный интерес, но и позволяют надеяться на существенное продвижение в решении проблемы Изинга–Онзагера. Можно применить эти результаты к анализу термодинамики изинговского магнетика во внешнем магнитном поле. Отметим, что автору пока не удалось провести полного доказательства аналога топологической теоремы Каца–Уорда [22], как это было сделано Шерманом [23] для случая эйлеровских графов на простой квадратной решетке.

Автор выражает глубокую благодарность профессору Яну Мостовскому за его вопросы и сомнения, а также необыкновенную терпеливость, с которой он выслушивал мои «короткие» рассказы о проблеме Изинга–Онзагера. Это в значительной мере помогло автору глубже понять суть и трудности рассматриваемой проблемы.

Литература

1. M. S. Kochmański, *J. Tech. Phys.* **36**, 485 (1995).
2. B. McCoy and T. T. Wu, *Two Dimensional Ising Models*, Harvard Univ. Press, Cambridge (1973).
3. J. M. Ziman, *Models of Disorder*, Univ. Press, Cambridge (1979).
4. R. J. Baxter, *Exactly Solved Models in Statistical Mechanics*, Academ. Press, New York (1982).
5. Ю. А. Изюмов, Ю. Н. Скрябин, *Статистическая механика магнитоупорядоченных систем*, Наука, Москва (1987).
6. C. J. Thompson, *Classical Equilibrium Statistical Mechanics*, Clarendon Press, Oxford (1988).
7. T. D. Schultz, D. C. Mattis, and E. H. Lieb, *Rev. Mod. Phys.* **36**, 856 (1964).
8. P. Jordan and E. Wigner, *Z. Phys.* **47**, 631 (1928).
9. M. Кас and J. C. Ward, *Phys. Rev.* **88**, 1332 (1952).
10. P. W. Kasteleyn, *J. Math. Phys.* **4**, 287 (1963).
11. Н. В. Вдовиченко, *ЖЭТФ* **47**, 715 (1964).
12. R. J. Baxter and I. G. Enting, *J. Phys. A* **11**, 2463 (1978).
13. M. S. Kochmański, submitted to *Phys. Rev. E*.
14. Л. Д. Ландау, Е. М. Лифшиц, *Квантовая механика*, Наука, Москва (1989).
15. *Graph Theory and Theoretical Physics*, ed. by F. Harary, Academ. Press., New York (1967).
16. F. Harary and E. M. Palmer, *Graphical Enumeration*, Academ. Press, New York (1973).
17. W. T. Tutte, *Graph Theory*, Cambridge Univ. Press, Cambridge (1984).
18. G. C. Wick, *Phys. Rev.* **80**, 268 (1950).
19. C. A. Hurst and H. S. Green, *J. Chem. Phys.* **33**, 1059 (1961).
20. M. S. Kochmański, *J. Tech. Phys.* **37**, 67 (1996).
21. M. S. Kochmański, submitted to *Ann. Polon. Math.* (1996).
22. R. P. Feynman, *Statistical Mechanics*, W. A. Benjamin, Inc., Ad. Book Progr. Reading, Massachusetts (1972).
23. S. Sherman, *J. Math. Phys.* **1**, 202 (1960); **4**, 1213 (1963).
24. Л. Д. Ландау, Е. М. Лифшиц, *Статистическая физика*, ч. 1, Наука, Москва (1976).